

# $^{23}\text{Al}$ 及其邻近丰质子核的奇异结构研究\*

马春旺<sup>1,2</sup> 方德清<sup>2; 1)</sup> 郭威<sup>1,2</sup> 王鲲<sup>2</sup> 颜廷志<sup>1,2</sup> 马余刚<sup>2</sup> 蔡翔舟<sup>2</sup> 沈文庆<sup>2</sup>  
孙志宇<sup>3</sup> 任中洲<sup>4</sup> 陈金根<sup>2</sup> 田文栋<sup>2</sup> 王宏伟<sup>2</sup> 马二俊<sup>1,2</sup> 刘桂华<sup>1,2</sup> 石钰<sup>1,2</sup>  
苏前敏<sup>1,2</sup> 钟晨<sup>2</sup> M. Hosoi<sup>5</sup> T. Izumikawa<sup>6</sup> R. Kanungo<sup>7</sup> S. Nakajima<sup>5</sup>  
T. Ohnishi<sup>8</sup> T. Ohtsubo<sup>6</sup> T. Suda<sup>8</sup> K. Sugawara<sup>5</sup> T. Suzuki<sup>5</sup>  
A. Ozawa<sup>9</sup> A. Takisawa<sup>6</sup> K. Tanaka<sup>8</sup> T. Yamaguchi<sup>5</sup> I. Tanihata<sup>7</sup>

1(中国科学院研究生院 北京 100049)

2(中国科学院上海应用物理所 上海 201800)

3(中国科学院近代物理研究所 兰州 730000)

4(南京大学物理系 南京 210008)

5(Department of Physics, Saitama University, Saitama 338-8570, Japan)

6(Department of Physics, Niigata University, Niigata 950-2181, Japan)

7(TRIUMF, 4004 Wesbrook Mall, Vancouver, British Columbia V6T 2A3, Canada)

8(Institute of Physical and Chemical Research(RIKEN), Wako-shi, Saitama 351-8571, Japan)

9(Department of Physics, Tsukuba University, Ibaraki 305-8571, Japan)

**摘要** 在RIKEN-RIPS上测量了 $^{23}\text{Al}$ 等丰质子核素的核反应总截面( $\sigma_R$ )和平行动量分布( $P_{//}$ ). 观察到了 $^{23}\text{Al}$ 核反应总截面的增强, 与以前的实验结果相符. 同时得到了 $^{23}\text{Al}$ 等丰质子核素擦掉一个质子后的 $P_{//}$ . 在Few-body Glauber模型下对实验结果进行了讨论.  $P_{//}$ 的宽度显示 $^{23}\text{Al}$ 基态的外层质子处于d态, 这与g因子测量实验结果一致. 为了同时解释 $P_{//}$ 和 $\sigma_R$ 的实验测量结果, 我们认为 $^{23}\text{Al}$ 可能有核芯增大的现象.

**关键词** 丰质子核 奇异结构 动量分布 核反应总截面

## 1 引言

自从1985年Tanihata等人首次发现 $^{11}\text{Li}$ 具有奇异的“中子晕”以来<sup>[1]</sup>, 很快其它许多具有“晕”或者“皮”结构的核被人们理论预言或者实验发现. 人们对奇异核结构进行了很多的研究, 但主要集中在中子晕上, 对于质子晕结构的研究相对较少. 由于库仑作用, 质子晕的形成比中子晕更复杂和困难. 人们从理论和实验对一些可能存在晕结构的丰质子核进行了研究, 比如单质子晕核 $^8\text{B}$ <sup>[2—4]</sup>,  $^{17}\text{Ne}$ <sup>[5]</sup>,  $^{23}\text{Al}$ <sup>[6, 7]</sup>,  $^{26, 27, 28}\text{P}$ <sup>[8, 9]</sup>和双质子晕核 $^{27, 28, 29}\text{S}$ <sup>[10—12]</sup>等.

蔡翔舟等人在兰州RIBLL上测量了中能

$^{23}\text{Al}$ (~35A MeV)等的 $\sigma_R$ , 发现 $^{23}\text{Al}$ 的 $\sigma_R$ 有反常增大<sup>[13, 14]</sup>. 结合 $^{23}\text{Al}$ 特别小的结合能( $S_p=0.125\text{MeV}$ ), 有较强的的理由认为 $^{23}\text{Al}$ 有晕结构. 但仍然需要其他方面的证据. 实验上没有 $^{23}\text{Al}$ 平行动量分布的结果, 为了从 $P_{//}$ 进行验证, 我们在RIKEN-RIPS上同时测量了其 $\sigma_R$ 和 $P_{//}$ .

## 2 实验方法

用透射法测量 $\sigma_R$ , 截面计算公式为

$$\sigma_R = \frac{1}{t} \ln \left( \frac{\gamma_o}{\gamma_i} \right), \quad (1)$$

\* 国家自然科学基金(10405032, 1053510, 10405033, 10475108, 10328259, 10135030), 上海科技发展基金(06QA14062, 05XD14021, 03QA14066)和国家重大基础研究发展项目(G200077404)资助

1) E-mail: dqfang@sinap.ac.cn

$t$  为 C 反应靶的厚度(核子数/ $\text{cm}^2$ ),  $\gamma_0$  和  $\gamma_i$  分别为空靶和有靶情况下离子在靶上出射和入射的比率。同时通过测量炮弹核擦掉一个质子后碎片的飞行时间(TOF)得到平行行动量。

实验用  $135A$  MeV  $^{28}\text{Si}$  轰击  $^{9}\text{Be}$  产生次级束流, 次级束能量  $\sim 70A$  MeV。次级束流在  $1\text{mm}$  厚的( $377\text{g}/\text{cm}^2$ )  $^{12}\text{C}$  靶上反应(本文中以后的“靶”均指 C 反应靶)。靶前和靶后分别用  $B\rho$ -ToF- $\Delta E-E$  和 ToF- $\Delta E-E$  的方法联合鉴别离子。

### 3 实验结果及讨论

#### 3.1 实验结果

测得的  $\sigma_R$  大小见表 1, 误差包括统计误差和部分系统误差。与邻近核相比,  $^{23}\text{Al}$  的  $\sigma_R$  增大。把 RIBLL 实验截面的结果用 Shen 公式归一到本次实验能量时, 两次实验的结果符合的很好(图 1)。我们测得  $^{23}\text{Al}$  的  $P_{//}$  的结果, 并没有出现像  $^{11}\text{Li}$  那样非常窄的分布。 $^{23}\text{Al}$  和邻近核的  $P_{//}$  测量结果见表 2。

表 1  $\sigma_R$  实验测量结果

核素	能量/(A MeV)	$\sigma_R/\text{mb}$
$^{23}\text{Al}$	73.7	$1609 \pm 79$
$^{24}\text{Al}$	77.0	$1527 \pm 60$
$^{22}\text{Mg}$	77.0	$1512 \pm 168$

表 2  $^{23}\text{Al}$  和邻近核的  $P_{//}/(\text{FWHM})$

反应道	$P_{//}/(\text{MeV}/c)$
$^{23}\text{Al} \rightarrow ^{22}\text{Mg} + p$	$232 \pm 18$
$^{22}\text{Mg} \rightarrow ^{21}\text{Na} + p$	$310 \pm 20$
$^{21}\text{Na} \rightarrow ^{20}\text{Ne} + p$	$236 \pm 32$
$^{24}\text{Al} \rightarrow ^{23}\text{Mg} + p$	$278 \pm 16$

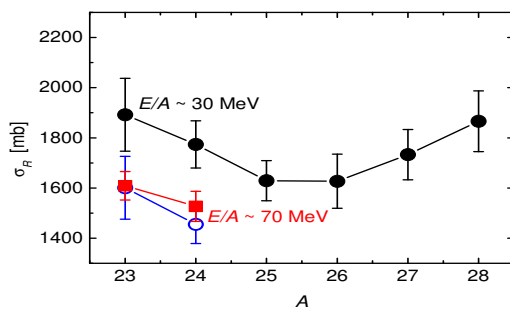


图 1 与 RIBLL 实验结果的比较

实心圆圈为 RIBLL 实验结果<sup>[13]</sup>, 空心圆圈为本次实验结果, 实心方块为 RIBLL 实验能量归一到本次实验能量的结果。

#### 3.2 结果讨论

少体 Glauber 模型(FBGM)作为研究奇异核结构有效的模型之一, 采用“核芯+价核子”方法, 可以同时计算  $\sigma_R$  和  $P_{//}$ 。这里我们用 FBGM 讨论  $^{23}\text{Al}$  的实验结果。

尽管  $^{23}\text{Al}$  的  $\sigma_R$  反常增大, 但  $P_{//}$  宽度与 Goldhaber 模型计算一致(图 2)。从图 2 可以看出, FBGM 计算  $P_{//}$  显示  $^{23}\text{Al}$  外层质子应处于  $d$  态, 与最近测量  $^{23}\text{Al}$   $g$  因子的结论一致<sup>[14]</sup>。

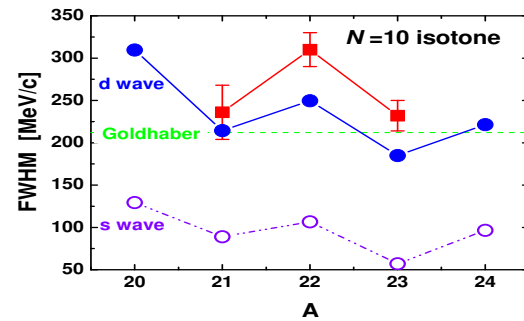


图 2  $^{23}\text{Al}$  的  $P_{//}$

实心方块为实验值, 实心圆圈为外层质子处于  $d$  态的理论值, 空心圆圈为处于  $s$  态的理论值, 点线为 Goldhaber 模型结果。

为了解释  $\sigma_R$  和  $P_{//}$  的实验结果, 尝试修正“核芯”  $^{22}\text{Mg}$ , 拉大其半径。计算显示, 当核芯大小为  $3.44 \pm 0.24\text{fm}$ , 即比自然的  $^{22}\text{Mg}$  大  $20 \pm 7\%$  时(图 3), 与  $\sigma_R$  实验结果一致。

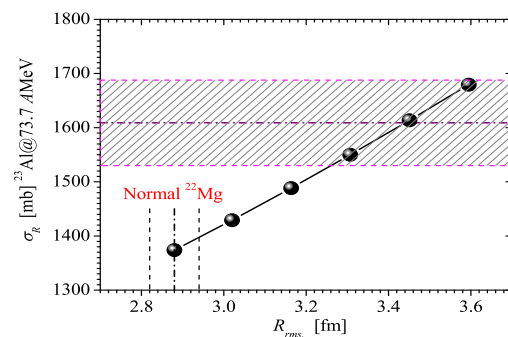


图 3 拉大  $^{23}\text{Al}$  核芯 “ $^{22}\text{Mg}$ ” 的 FBGM  $\sigma_R$  计算结果  
点划线为实验值, 阴影为误差范围; 方块为核芯拉大的 FBGM 计算结果。

### 4 结论

实验测量了丰质子核  $^{23}\text{Al}$  及其邻近核的核反应总截面和平行动量分布, 观察到了  $^{23}\text{Al}$  反应总截面的增大, 与以前的实验测量结果一致。从平行动量分布的

结果得出 $^{23}\text{Al}$ 基态价核子处于d态,这与最近测量其g因子结果一致。在少体Glauber模型下,采用增大核芯

的办法解释了 $^{23}\text{Al}$ 反应总截面增大却具有正常的平行动量分布的实验结果。

## 参考文献(References)

- 1 Tanihata I et al. Phys. Rev. Lett., 1985, **55**: 2676
- 2 Warner R E et al. Phys. Rev., 1995, **C52**: R1166
- 3 Blank B et al. Nucl. Phys., 1997, **A624**: 242
- 4 Minamisono T et al. Phys. Rev. Lett., 1992, **69**: 2058
- 5 Ozawa A et al. Phys. Lett., 1994, **B334**: 18
- 6 WANG J S et al. Nucl. Phys., 2001, **A691**: 618
- 7 FANG De-Qing et al. Chin. Phys. Lett., 2005, **22**: 572
- 8 Navin A et al. Phys. Rev. Lett., 1998, **81**: 5089
- 9 FANG D Q et al. Eur. Phys. J., 2001, **A12**: 335
- 10 CHEN B Q et al. J. Phys., 1998, **G24**: 97
- 11 REN Z Z et al. Phys. Rev., **C53**: R572
- 12 Brown B A et al. Phys. Lett., 1996, **B381**: 391
- 13 CAI X Z et al. Phys. Rev., 2002, **C65**: 024610
- 14 Ozawa A, Matsuta K et al. Phys. Rev., **C74**: 021301

## Study of Exoticness of Proton-Rich Nuclei $^{23}\text{Al}$ and it's Neighboring Nuclei<sup>\*</sup>

MA Chun-Wang<sup>1,2</sup> FANG De-Qing<sup>2;1)</sup> GUO Wei<sup>1,2</sup> WANG Kun<sup>2</sup> YAN Ting-Zhi<sup>1,2</sup> MA Yu-Gang<sup>2</sup>  
 CAI Xiang-Zhou<sup>2</sup> SHEN Wen-Qing<sup>2</sup> SUN Zhi-Yu<sup>3</sup> REN Zhong-Zhou<sup>4</sup> CHEN Jin-Gen<sup>2</sup>  
 TIAN Wen-Dong<sup>2</sup> WANG Hong-Wei<sup>2</sup> MA Er-Jun<sup>1,2</sup> LIU Gui-Hua<sup>1,2</sup> SHI Yu<sup>1,2</sup>  
 SU Qian-Min<sup>1,2</sup> ZHONG Chen<sup>2</sup> M. Hosoi<sup>5</sup> T. Izumikawa,<sup>6</sup> R. Kanungo<sup>7</sup>  
 S. Nakajima<sup>5</sup> T. Ohnishi<sup>8</sup> T. Ohtsubo<sup>6</sup> T. Suda<sup>8</sup> K. Sugawara<sup>5</sup> T. Suzuki<sup>5</sup>  
 A. Ozawa<sup>9</sup> A. Takisawa<sup>6</sup> K. Tanaka<sup>8</sup> T. Yamaguchi<sup>5</sup> I. Tanihata<sup>7</sup>

1(Graduate School of Chinese Academy of Sciences, Beijing 100049, China)

2(Shanghai Institute of Applied Physics, CAS, Shanghai 201800, China)

3(Institute of Modern Physics, CAS, Lanzhou 730000, China)

4(Department of Physics, Nanjing University, Nanjing 210008, China)

5(Department of Physics, Saitama University, Saitama, 338-8570, Japan)

6(Department of Physics, Niigata University, Niigata, 950-2181, Japan)

7(TRIUMF, 4004 Wesbrook Mall, Vancouver, British Columbia V6T 2A3, Canada)

8(Institute of Physical and Chemical Research(RIKEN), Wako-shi, Saitama, 351-8571, Japan)

9(Department of Physics, Tsukuba University, Ibaraki, 305-8571, Japan)

**Abstract** We measured the reaction cross sections( $\sigma_R$ ) and parallel momentum distributions( $P_{//}$ ) of  $^{23}\text{Al}$  and it's neighboring nuclei at RIKEN-RIPS. An enhanced  $\sigma_R$  of  $^{23}\text{Al}$  is observed, which is consistent with the previous experimental result. And the  $P_{//}$  of fragment from the projectile breakup nuclei have been obtained at the same time. We discuss our experimental data under the Few-Body Glauber Model. The  $P_{//}$  of  $^{23}\text{Al}$  shows the ground state of the valence proton is a d-wave, which is consistent with the recent measurement of  $^{23}\text{Al}$ 's g factor. To explain the experimental  $\sigma_R$  and  $P_{//}$  of  $^{23}\text{Al}$  at the same time, we suggest an enlarged core of  $^{23}\text{Al}$ .

**Key words** proton-rich nuclei, exotic structure, parallel momentum distribution, reaction cross section

\* Supported by National Natural Science Foundation of China (10405032, 1053510, 10405033, 10475108, 10328259, 10135030), Shanghai Development Foundation for Science and Technology (06QA14062, 05XD14021, 03QA14066) and Major State Basic Research Development Program in China (G200077404)

1) E-mail: dqfang@sinap.ac.cn